

# بررسی پخش ناگهانی گاز و انفجار آن در محیط های مانع دار به کمک آنالیز CFD

اسلام کاشی<sup>i</sup>; فرهاد شهرکی<sup>ii</sup>; داود رشتچیان<sup>iii</sup>; سعیده محبی نیا<sup>iv</sup>

## چکیده

خروج و پخش ناگهانی گازهای سمی و آتش زا در صنایع فرایندی، همیشه از خطرات مهم برای سلامت عمومی کارکنان و ساکنین مناطق نزدیک آنها بوده و از نظر اینمنی، کارخانجات صنعتی باید مراقب این موضوع باشند. در شبیه سازی فرایند پخش و آنالیز پیامد، به منظور تجزیه و تحلیل ریسک، مواجهه با پدیده افتشاش بوجود آمده در مناطقی که موانع و زیری زیادی دارند، یک بحث مهم و قابل توجه می باشد که مدلهای فعلی پخش و انفجار، توانایی مدل کردن آن را ندارند. در این مقاله از دینامیک سیالات محاسباتی به عنوان ابزاری قدرتمند در شبیه سازی پدیده های انتقال، استفاده شده است. تطابق نتایج شبیه سازی با داده های تجربی نشان می دهد که CFD قادر به تخمین های مناسب در زمینه پخش و انفجار گاز در محیط های مانع دار می باشد.

## کلمات کلیدی

ایمنی، پخش گاز، انفجار، جریانهای مغشوش، CFD

## Gas Dispersion and Explosion Over a Built-up Area with CFD

E. Kashi<sup>i</sup>; F. Shahraki<sup>i</sup>; D. Rashtchian<sup>ii</sup>; S. Mohebinia<sup>ii</sup>

### ABSTRACT

Accidental release and dispersion of toxic and flammable gases were always major hazards for public health and safety which process industries had to deal with. In real dispersion and explosion simulation, for safety assessment, turbulence is a common phenomenon that the present models cannot model it correctly. In this paper, gas dispersion and explosion in the complex region is simulated by the computational fluid dynamic (CFD), and compared with experimental data. Computational results showed good agreement with experimental measurements indicating that CFDs provide a reliable means of estimating gas dispersion and explosion in real terrains.

### KEYWORDS

Safety – Gas dispersion – Gas explosion – turbulence flows – CFD

## ۱- مقدمه

جمعیت موجود در اطراف مناطق صنعتی و یا انجارهای ذخیره پخش اتمسفری گازهای خطرناک (سمی و آتش زا) و همچنین سازی اینگونه مواد می باشد. مطابق قوانین حفاظت محیط بخارات مشابه و انفجارهای بعدی خطر بزرگی برای سلامت زیست، باید غلظت انواع گازهای سمی و آتش زا در نزدیکی کارخانجات صنعتی محاسبه شده و ارزیابی های مربوط به

<sup>i</sup> دانشجوی دکتری گروه مهندسی شیمی دانشگاه سیستان و بلوچستان، زاهدان

<sup>ii</sup> عضو هیات علمی گروه مهندسی شیمی دانشگاه سیستان و بلوچستان، زاهدان

<sup>iii</sup> عضو هیات علمی دانشکده مهندسی شیمی و نفت دانشگاه صنعتی شریف، تهران

<sup>iv</sup> دانشجوی کارشناسی ارشد دانشکده مهندسی شیمی و نفت دانشگاه صنعتی شریف، تهران

یک شوک ناگهانی است که مقدار آن معلوم و قابل اندازه‌گیری است. در حین انفجار انتشار ناگهانی و شدید انرژی باعث افزایش بسیار سریع فشار هوا می‌شود و یک ناحیه با فشار مثبت ایجاد می‌کند که این فشار مثبت را فشار مت加وز (Overpressure) می‌نامند. در حین موج ایجاد شده که از منبع با سرعت بسیار زیاد حرکت می‌کند، مقدار فشار سریعاً به بیشترین مقدار خود افزایش می‌یابد که به آن قله فشار مت加وز می‌گویند و سپس این مقدار کاهش می‌یابد. پتانسیل انفجار برای ایجاد خسارت بستگی به مقدار این قله دارد. تخمین فشار ایجاد شده در انفجار قدم اول در آنالیز سلسه مراتب اتفاقات است [۶].

فشار نهایی در انفجار به فاکتورهای زیادی بستگی دارد از جمله: نوع سوخت، نسبت سوخت-هواء، فشار اولیه، دمای اولیه، منبع اشتعال و اغتشاش. فرایند اختلاط متلاطم بین مخلوط اشتعال‌پذیر و محصولات حاصل از احتراق یک فاکتور کلیدی در تعیین سرعت سوختن و مقدار فشار مت加وز می‌باشد [۷]. اغتشاش علاوه بر افزایش سرعت فرایندهای انتقال حرارت و انتقال جرم، سطح جبهه شعله را نیز افزایش می‌دهد. سطح جبهه شعله همان حد فاصل بین مخلوط اشتعال‌پذیر و محصولات احتراق است که در آن واکنش سوختن اتفاق می‌افتد. در ابتدا هنگامی که شدت اغتشاش کم است، گردابهای متلاطم تنها جبهه شعله را چروکیده می‌کنند و باعث افزایش سطح مؤثر آن و درنتیجه افزایش سرعت سوختن می‌شوند. پیامد این فرایند، انبساط شدیدتر و همانا افزایش سرعت جریان می‌باشد. افزایش سرعت نیز خود باعث افزایش شدت تلاطم می‌گردد.

بررسی شتاب گرفتن شعله بدلیل وجود موائع در محیط‌های صنعتی در مطالعه مخاطرات انفجار بسیار مهم است. درجه انسداد بالا به علت تراکم موائع، معمولاً یکی از مشخصه‌های واحدهای شیمیایی است که با مواد اشتعال‌پذیر سرو کار دارند. برخورد شعله با موائع باعث ایجاد اختلاط شدید و درنتیجه احتراق متلاطم در ناحیه شعله می‌شود.

به کمک فناوری پیشرفته کامپیوتری و با افزایش قدرت کامپیوترها، دینامیک سیالات محاسباتی (CFD) ابزاری مناسب و قابل دسترس برای محدوده وسیعی از مسائل گشته است. دینامیک سیالات محاسباتی کمک می‌نماید تا یک شبیه سازی از یک پدیده پیچیده فیزیکی داشته و بتوان پدیده‌های انتقال را بوسیله مدل‌های پیشرفته ریاضی شرح داد. مدلها ویژه‌ای در کدهای CFD ضمیمه شده‌اند که اغتشاش بوجود آمده در دامنه کاری را پیش‌بینی نموده و مناطق نزدیک دیواره را به دقت مورد بررسی قرار می‌دهند.

مطالعات قابل توجهی در زمینه دینامیک سیالات محاسباتی،

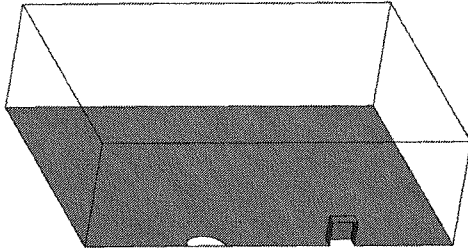
ایمنی صورت گرفته و اتفاقات ممکن بررسی شوند. این مطالعات ممکن است در مرحله طراحی کارخانه صورت گیرد و یا برای بررسی عکس العمل‌های مورد نیاز در هنگام بروز خطر به کار رود. گاهی اوقات هم برای دریافت گواهینامه‌های زیست محیطی، باید این مطالعات به شکل کمی صورت گیرند.

امروزه مدلها و روشهای زیادی برای مدلسازی پخش و نفوذ مواد شیمیایی از یک نقطه، محیط یا لوله وجود دارد [۱]. برای مثال روش مدلسازی پخش و نفوذ گوسی اغلب برای تخمین نتایج رها سازی مواد خنثی تا سبک استفاده می‌شود. بعضی از روش‌های مدلسازی دیگر برای هندسه‌های پیچیده تر استفاده می‌شوند. به طور مشابه مدلها و روشهایی برای خروج ناگهانی مواد شیمیایی شامل گازهای سنگین و یا دوفازی که ممکن است خطرناک و مهلك باشند، وجود دارد [۲]. در این مدلها پیچیدگی محیط در نزدیکی نقطه آزاد سازی، بوسیله پارامتر ذربی سطح ارائه می‌گردد که البته یک تقریب خام می‌باشد [۳]. به هر حال این مدلها نمی‌توانند به خوبی در محیط‌های صنعتی با هندسه پیچیده (دارای ساختمانها و موائع گوناگون) واقع در مناطق بادخیز، مورد بهره برداری قرار گیرد. با توجه به امکانات عمومی موجود در محیط‌های صنعتی، موائع زیادی وجود دارد که روی اغتشاش و در نتیجه رفتار نفوذی مواد آزاد شونده تأثیر گذار است. خواص یک گاز پخش شده در سه بعد تغییر می‌کند. ساختمانها و تجهیزات موجود سیستم جریان را عوض کرده و بر روی اغتشاش آن تأثیر می‌گذارند. در حالیکه مدل‌های تجربی قدیمی موسوم به مدل‌های Box (در این مدلها فرض می‌شود که ابر تشکیل شده به فرم یک مکعب مستطیل بوده و خصوصیات آن در تمام نقاط مکعب یکنواخت است)، از خصوصیات یک بعدی متوسط پخش گاز، در دو بعد عمود بر جهت نفوذ استفاده می‌کنند [۴] و به همین خاطر دارای خطای پیش‌بینی غلظت‌های عمودی و افقی می‌باشند. به هر حال دلیل استفاده از این مدلها (Box models) سریع و آسان بودن تخمین نحوه پخش گاز می‌باشد که در آنالیزهای ریسک از آنها استفاده می‌شود.

از سوی دیگر بررسی‌های انجام شده نشان داده است که حدود ۴۲٪ از انفجارهای روی داده در صنایع فرآیندی به خاطر انفجارهای گازها و بخارات در محیط‌های باز یا بسته می‌باشد. تخمین پیامدها و بار خسارت حاصل از انفجار گاز، معمولاً یکی از قسمتهای اصلی آنالیز ریسک می‌باشد. لذا شبیه سازی انفجار یکی از مهمترین اجزای آنالیز ریسک خواهد بود [۵].

انفجار گاز می‌تواند بصورت یک فرایند رشد شعله در یک مخلوط اشتعال‌پذیر درنظرگرفته شود که در اثر جریان انبساط خودالقائی تا شدت انفجار شتاب می‌گیرد. موج صادره از انفجار

متري سيلندر گاز و در جهت باد استقرار داده شد. گاز آزاد شده از سطح سيلندر (شکل ۳)، گاز R-12 (Refrigerant-12) شده بوسيله نيتروژن بود. مخلوط گاز حاوي رقيق سازی شده بوسيله نيتروژن (W/W) ۶۸٪ / ۳۱٪ فرئون ۱۲ بود. در طی انجام آزمایش، سرعت باد تقریباً برابر با  $1/9 \text{ m/s}$  بود. با توجه به جهت باد، غلظت گاز در جلو و عقب مانع اندازه گیری شد.



شکل ۱- نصف هندسه (همراه با سطح تقارن) مورد استفاده در آزمایش شماره ۲۶، Thorney Island، باد از سمت چپ می‌وزد.

## ۲- شرائط مرزی

شرایط مرزی در واقع ویژگیها یا خواص مربوط به هر یک از سطوح دامنه کاری می‌باشد و برای شبیه سازی باید به دقت تعریف شوند. با توجه به دامنه کاری نشان داده شده در شکل ۱، شرایط مرزی مربوط به پروفیل سرعت و همچنین گاز ورودی، به شکل تابع ریاضی وارد مسأله شد که در اینجا به بررسی آنها پرداخته می‌شود.

### ۲-۱- ورودی گاز (چشم)

در آزمایش شماره ۲۶، در بخش پخش ناگهانی گاز، حدود  $2000 \text{ m}^3$  مخلوط گاز فرئون ۱۲ و نيتروژن در کمتر از ۱ ثانیه آزاد شد [۱۵]. به منظور وارد کردن شرائط مرزی گاز ورودی در حالت گذرا، دبی جرمی مخلوط گاز ( $Q_i$ ) بوسيله یک تابع پله‌ای تعریف شد:

$$Q_i = m_i \times (\text{step}[t] - \text{step}[t - 1.5]) \quad (1)$$

که مقدار  $m_i$  برابر با  $3187 \text{ Kg/s}$  می‌باشد. گاز در یک لحظه از چشم خارج شده و به سمت بالا فرستاده شد تا یک ابر استوانه ای شکل را تشکیل داده و تا حد امکان، شرایط مشابه شرایط آزمایش شود.

جدول (۱): داده های مربوط به جرم رهاسازی شده در آزمایش شماره ۲۶

Mass inflow rate, $m_i$ ( $\text{kg s}^{-1}$ )	Total released mass (kg)	Total released volume ( $\text{m}^3$ )	Released gaseous mixture density relative to air	Trial Number
3178	4767	1970	2.00	26

مدلسازی جریانهای اتمسفریک و همچنین مدلسازی انفجار توده های ابر گاز صورت گرفته است [۷]-[۱۴]. در این مقاله پخش یک گاز سنگین بوسيله کمک گرفتن از مدل اغتشاش  $k$ - شبیه سازی شده و نتایج حاصله با داده های تجربی حاصل از آزمایشات میدانی Thorney Island مقایسه شده است. آزمایشات Thorney Island به خوبی در گذشته شرح داده شده و داده های مربوطه آنالیز گشته است [۱۵]-[۱۷] که اطلاعات مفیدی را برای انجام آزمایشات پخش گازهای سنگین ارائه کرده است [۱۸]. همچنین به منظور شبیه سازی فرایند انفجار ابر بخار، از اطلاعات مربوط به یک لوله که دارای موانعی در داخل خود می‌باشد، استفاده شده است [۵].

شبیه سازی عددی این آزمایشات بوسيله کد 10 CFX صورت گرفته که از معادلات ناویر استوکس با رینولدز متوسط استفاده می‌نماید و با استفاده از روش حجم محدود، معادلات را به حالت گستته تبدیل می‌نماید. به عبارت دیگر با تبدیل معادلات دیفرانسیل با شرائط مرزی و اولیه مربوطه به مقادیر گستته، آنها را با روش‌های جبری حل می‌نماید [۱۹].

## ۳- بررسی انتشار گاز در محیط‌های مانع دار

### ۳-۱- شرح آزمایشات میدانی

غاز یک آزمایشات میدانی پخش گازهای سنگین Thorney Island، مربوط به رهاسازی گاز در یک محیط صاف و بدون مانع بود. در حالیکه هدف فاز دوم آزمایشات، بررسی پخش گازهای سنگین تر از هوا در اطراف مانع بود. از آزمایشات فاز دو باید نتایجی استخراج می‌شد که بتوان در یک مدل تولید شدن شبیه سازی شده، نتایج حاصله آنها را مقایسه نمود. همچنین پدیده های دینامیک سیالات از قبیل رابطه بین لایه لایه شدن دانسیته جریان و اینکه جریان گاز در اطراف ساختمانها چگونه پخش می‌گردید و یا رابطه بین ویکهای اطراف ساختمانها و جریان ابر، باید مورد مطالعه قرار می‌گرفت [۲۰]. در آزمایشات مربوط به یک ساختمان تکی (آزمایش شماره ۲۶ - ۲۹)، مانع، یک مکعب  $9\text{m} \times 9\text{m} \times 9\text{m}$  بود که از چوب ساخته شده و ورقه های پلاستیکی روی آنها چسبانده شده بود. کل این بنا، روی یک تریلر نصب شده بود و قبل از رها سازی گاز در موقعیت مورد نظر استقرار می‌یافت. منبع گاز یک خیمه به قطر  $14\text{m}$ ، ارتفاع  $12\text{m}$  و کل حجم برابر با  $2000 \text{ m}^3$  بود که در لحظه شروع پخش گاز این خیمه یکباره به زمین می‌افتد و یک ابر استوانه ای شکل در آسمان باقی می‌ماند [۲۰].

### ۳-۱-۱- آزمایش شماره ۲۶

در این آزمایش، سازه مکعبی شکل متحرک، در فاصله ۵۰

## ۲-۲-۲- ورودی جریان باد

ثانیه بوده و در کل ۲۰۸ پله زمانی ( $200 \times 25$  و  $8 \times 1$ ) در نظر گرفته شد. ابتدا مسئله با همان شرایط مرزی مورد استفاده در حالت گذرا، به شکل پایا حل شد تا میدان جریان مغشوش بدست آمده و بتوان از نتایج آن به عنوان نقاط اولیه در حالت گذرا استفاده کرد. معیار همگرایی RMS مانده (Residual of Root Mean Square) مقداری کمتر از  $10^{-3}$  در نظر گرفته شد. حل حالت گذرا نیاز به ۲۳ تا ۸ تکرار برای هر پله زمانی داشت. با کامپیوتری که دارای یک پردازنشگر از نوع Intel(R)Core(TM) ۶۴۰۰@۲.۱۳ GHZ ۲ CPU و حافظه جانبی برابر با ۹۸۰ MB، زمان شبیه سازی به مدت ۷ ساعت و ۳۹ دقیقه به طول انجامید. بررسی زمان اختصاص یافته به هر یک از قسمت های مربوط به بخش حل، نشان داد که حدود  $50/3$ % زمان کل حل مربوط به گسته سازی معادلات جرم و مومنت،  $5/5$ % زمان کل حل مربوط به گسته سازی معادلات جزء حجمی و  $15/5$ % زمان کل حل صرف گسته سازی معادلات مدل اغتشاش  $k$ - $k$  شده است. وقت کل صرف بروز رسانی متغیرها شده،  $2/3$ % زمان کل صرف حل معادلات خطی مربوط به انتقال جرم و مومنت،  $2/2$ % وقت کل صرف حل معادلات خطی مربوط به مدل اغتشاش  $k$ - $k$  و  $2/9$ % وقت کل صرف حل معادلات جزء حجمی گردیده است. همانگونه که ملاحظه می گردد بیشتر زمان حل صرف گسته سازی معادلات شده است. بنابراین احتمالاً با بهبود روش های گسته سازی می توان زمان مورد نیاز برای حل را به شدت کاهش داد. شکل ۲ نتایج کامپیوتری را با داده های تجربی اندازه گیری شده در صفحه جلویی ساختمان و در ارتفاع  $4/6$  متری مقایسه می نماید.

جدول (۳): زمان اختصاص یافته به بخش های مختلف حل

درصد زمان اختصاص یافته به هر بخش	بخش های مختلف حل
$50/3$	گسته سازی معادلات جرم و مومنت
$5/7$	گسته سازی معادلات جزء حجمی
$15$	گسته سازی معادلات مدل اغتشاش
$9/5$	بروز رسانی متغیرها
$2/2$	حل معادلات انتقال جرم و مومنت
$2/2$	حل معادلات خطی مربوط به مدل اغتشاش
$2/9$	حل معادلات جزء حجمی
$10/1$	مسائل ریز و جانبی

سرعت باد یکی از مهمترین عوامل مؤثر در پخش و رقیق گردیدن گاز می باشد و گاز را به نقاط مختلف دامنه کاری انتقال می دهد. برای داشتن یک تعریف درست از سرعت باد، باید توجه داشت که سرعت باد در نزدیکی سطح، به علت تأثیرات اصطکاک، بسیار کم می گردد. اگر سرعت باد در یک ارتفاع مشخص، معین باشد (میزان متعارف ارتفاع مرجع،  $10$  متر از سطح زمین می باشد)، آنگاه پروفیل سرعت را می توان به کمک رابطه نمائی (۲) بیان نمود:

$$u_z = u_0 \times \left( \frac{Z}{Z_0} \right)^{\lambda} \quad (2)$$

در رابطه (۲)،  $\lambda$  یک مقدار بدون بعد بوده و مقدار آن به میزان پایداری انتسфер و همچنین زبری سطح وابسته می باشد [۲۱]. با توجه به شرایط آزمایش شماره ۲۶، مقادیر پارامترهای مختلف در جدول ۲ ارائه شده است.

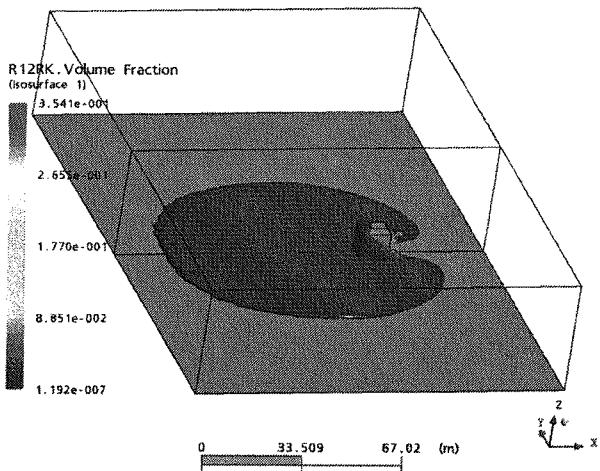
جدول (۲): داده های مورد استفاده در معادله (۱۸)

Parameter $\lambda$ (unitless)	Surface roughness (m)	Atmospheric stability	Wind speed at 10m altitude (m s <sup>-1</sup> )	Trial number
0.07	0.005	B	1.9	26

علاوه بر موارد یاد شده، سطوح مربوط به ساختمان و زمین به عنوان دیواره های ثابتی تعریف شد که سرعت سیال در روی آنها بر اساس شرط عدم لغزش، برابر صفر می باشد. صفحات کناری، سطح بالا و جلویی با شرط دیواره باز (Opening) و با فشار نسبی صفر نسبت به دامنه کاری تعریف شدند. همچنین جهت کاهش زمان محاسبات، از نصف دامنه استفاده گردید و دیواره وسط با شرط سطح تقارن تعریف شد.

## ۲-۳- نتایج شبیه سازی

با شرایط مرزی اشاره شده در قسمت قبل، معادلات بقای جرم، انرژی و مومنت در فضای سه بعدی مربوط به دامنه کاری نمایش داده شده، حل شدند. دامنه کاری حاوی  $221179$  المان حجمی از نوع چهار وجهی بوده و تعداد المان های منشوری بوجود آمده  $34028$  عدد بود. از آنجا که هدف محاسبه مقادیر غلظت در زمانهای مختلف بود، مسئله به شکل حالت گذرا حل شد. از المان های چهار وجهی استفاده شد تا بتوان حجم های کوچکتری درست کرده و سطوح نزدیک دیواره ها را ساده تر پوشش داد. به منظور دقیق تر شدن جوابها در نزدیکی دیواره مکعب المان های اطراف این جسم کوچکتر انتخاب شد. مدت زمان شبیه سازی (زمان پس از شروع پخش)  $204$

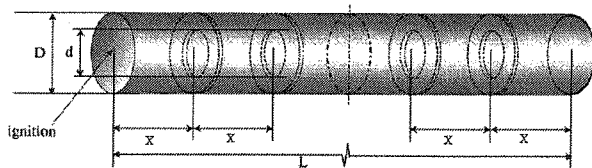


شکل (۴): سطح هم مقدار مربوط به غلظت ۱/۰ درصد گاز R12 پس از گذشت ۱۵ ثانیه از زمان شروع پخش گاز

### ۳- بررسی انفجار گاز در محیط‌های مانع دار

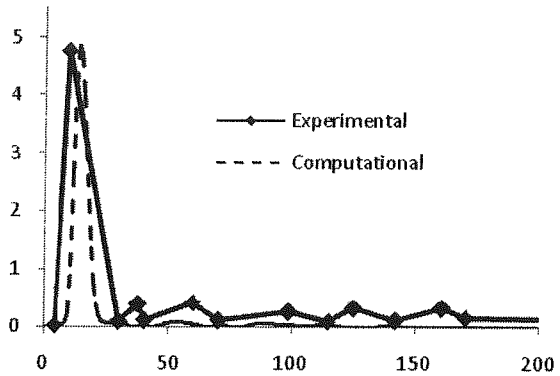
#### ۳-۱- ساختار نمونه مدل‌سازی شده

شماتی کلی لوله انفجار در شکل ۵ نشان داده شده است. این لوله ۵۰ متر مکعبی  $10\text{m}$  طول و  $2/5\text{m}$  قطر دارد. در داخل لوله رینگ‌هایی نصب شده است که تعداد و همچنین قطر داخلی آنها به عنوان متغیرهای آزمایش به حساب می‌آید. اشتعال بوسیله یک ماتریس از منابع اشتعال که بصورت الکتریکی شعله‌ور می‌شوند (منبع اشتعال صفحه‌ای) و یا یک منبع اشتعال واحد (منبع اشتعال نقطه‌ای) شروع می‌شود. داخل لوله از مخلوط همگن سوخت- هوا پر می‌شود. این لوله ابتدا در سایت آزمایشگاه رافوس (Raufoss) در قسمت شرقی نروژ قرار داشت که در سال ۱۹۸۲ به سایت آزمایشگاه CMR's Sotra منتقل شد [۵].



شکل (۵): شماتی کلی لوله انفجار

در بخش مدل‌سازی انفجار، سه آزمایش انجام شد که در آنها قطر داخلی رینگ، متغیر آزمایشات بود. کاهش قطر رینگ‌ها به معنای افزایش درجه انسداد است. برای لوله مذکور شامل ۵ رینگ، سه هندسه با قطر داخلی رینگ‌ها به میزان ( $d$ )  $2/0\text{m}$ ,  $1/74\text{m}$  و  $2/26\text{m}$  ایجاد شد. در شکل ۶، هندسه یک لوله به قطر داخلی رینگ‌ها به میزان  $1/74\text{m}$  مشاهده می‌شود.

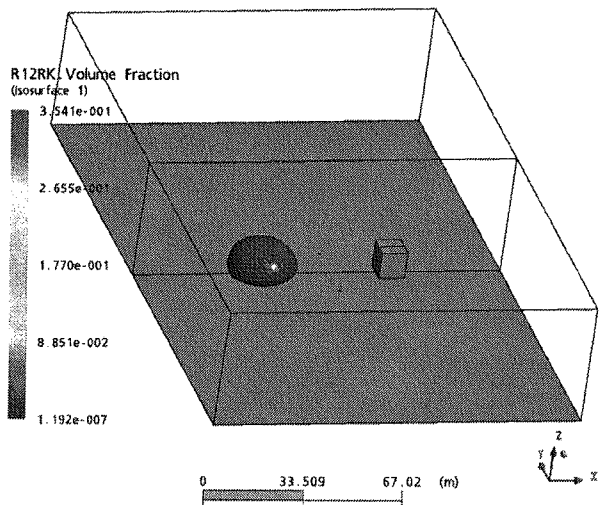


شکل (۶): مقایسه داده‌های تجربی و محاسبه شده در ارتفاع  $6/4$  متری ضلع جلویی مکعب

با دقت در شکل ۲ مشاهده می‌گردد که داده‌های محاسبه شده با مشاهدات تجربی تطبیق بسیار خوبی دارند و با یک شبیه‌سازی موفق عملأ می‌توان از نتایج CFD بجای آزمایشات عملی بهره جست.

شکل‌های ۳ و ۴ به ترتیب، سطوح هم مقدار را برای غلظتها مختلف و در زمانهای مختلف نشان می‌دهند. در واقع این سطوح نشان‌گر منطقه خطرناک (از نظر سمیت و از نظر اشتعال پذیری) بوده که در محاسبات آنالیز ریسک و پیامدهای حاصله ارزش بسیار زیادی دارد.

همانطور که در اشکال ۳ و ۴ ملاحظه می‌شود به دلیل سنگین بودن گاز فرائون از هوا، بلاfaciale پس از رها سازی گاز، توده ابر در پایین دست جریان و در سطح نزدیک به زمین تشکیل می‌گردد. با دقت در شکل ۳، مشاهده می‌شود که مقداری از گاز به علت عدم حرکت جریان هوا در نزدیکی دیواره پشتی مکعب جمع شده و به صورت ساکن باقیمانده است.



شکل (۷): سطح هم مقدار مربوط به غلظت ۱/۰ درصد گاز R12 پس از گذشت ۱۰ ثانیه از زمان شروع پخش گاز

$$u = 0.0 \text{ m/s}$$

$$Y_{C_3H_8} = 0.0602$$

$$P = 1.10^5 \text{ Pa}$$

$$v = 0.0 \text{ m/s}$$

$$Y_{CO_2} = Y_{H_2O} = 0.001$$

$$T = 298K$$

$$w = 0.0 \text{ m/s}$$

$$Y_{O_2} = 0.2191$$

### ۳-۳- مدل کردن جرقه

برای مدل کردن جرقه، یک نقطه منبع به مختصات (۰،۰،۰) در برنامه تعریف و یک بار حرارتی با تابع پالسی به آن وارد شد. در این نقطه برای شروع واکنش مقدار اولیه بزرگتر از صفر به نزدیک اضمحلال ادی داده شد. در واقع جرقه به صورت یک بار حرارتی و ایجاد اغتشاش مدل شده است. قله تابع پالس برای حرارت می‌بایستی از مینیمم انرژی اشتعال بیشتر باشد تا احتراق اتفاق بیفتد. شرایط اعمال شده به صورت رابطه ۲ می‌باشد. در این رابطه  $H_{ig}$  باید از مینیمم انرژی برای شروع اشتعال بیشتر باشد. برای بیشتر هیدروکربن‌ها این پارامتر در حدود  $10\text{mJ}/0.3\text{--}0.4$  است.

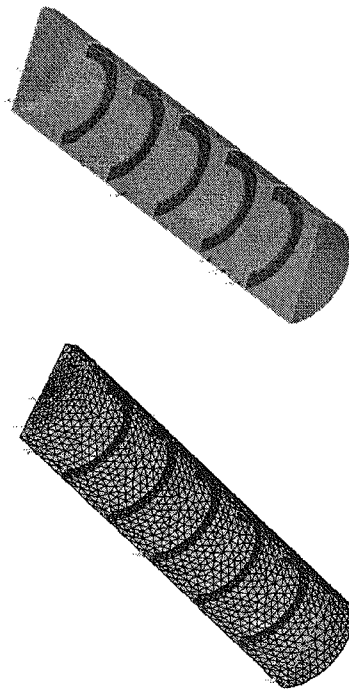
$$Q_{ig} = H_{ig} (step(t) - step(t - 0.01)) \quad (2)$$

### ۳-۴- بحث و تفسیر نتایج

با کاهش قطر داخلی رینگها درجه انسداد در لوله بیشتر می‌شود. نسبت انسداد بصورت رابطه ۴ تعریف می‌شود:

$$BR = 1 - \left( \frac{d}{D} \right)^2 \quad (4)$$

که در آن  $d$  قطر داخلی اریفیس و  $D$  قطر داخلی لوله است. هنگامی که قطر داخلی اریفیسها  $1/74\text{m}$  باشد، صفات اریفیسی  $50\%$  از سطح آزاد لوله را مسدود می‌کنند و اگر قطر داخلی  $d$  برابر با  $2/25\text{m}$  باشد، نسبت انسداد برابر  $16\%$  و یا  $16\%$  می‌شود. از نتایج آزمایشات بر می‌آید که نسبت انسداد، پارامتری است که تأثیر قابل توجهی روی فشار انفجار دارد. با افزایش این نسبت، سطح تهویه کاهش یافته و سرعت جریان در قسمت باز اریفیسها افزایش خواهد یافت. افزایش سرعت باعث ایجاد اغتشاش در لایه‌های برشی پشت صفات اریفیس می‌شود. تعداد رینگها نیز پارامتر مهم دیگری است که روی اغتشاش و در نتیجه فشار نهایی تأثیر می‌گذارد. هر اریفیس یک لایه برشی متلاطم ایجاد خواهد کرد که سرعت شعله را افزایش می‌دهد. همانطور که در شکل ۷ مشاهده می‌شود در لبه اریفیسها به علت تلاطم ایجاد شده شعله سریعتر ایجاد می‌شود.



شکل (۶): هندسه ایجاد شده برای لوله همراه با ۵ رینگ به  $1/74\text{m}$  شعاع داخلی

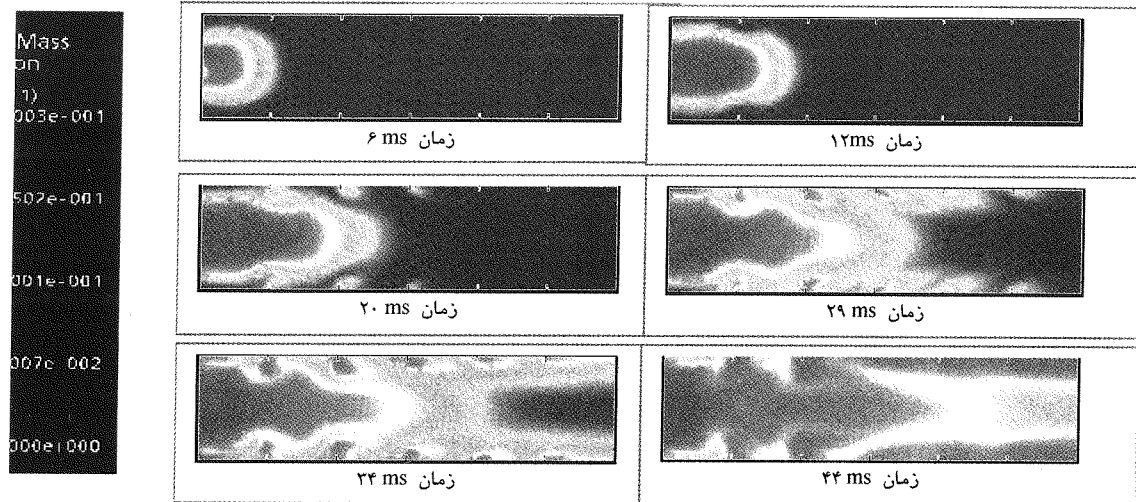
فضای هندسی ایجاد شده بصورت غیر ساخت یافته (Unstructured) شبکه‌بندی شد. تعداد المانهای چهاروجهی برای هر هندسه و همچنین زمان اتمام محاسبات برای هر هندسه در جدول ۴ آورده شده است. در این تحقیق از یک کامپیوتر با RAM 512 MB و CPU 2.80GHz استفاده شد که برای هر آزمایش تقریباً ۴-۵ ساعت زمان لازم بود. گام زمانی داده شده در هر اجرا  $1\text{ms}$  بود.

جدول (۴): تعداد المانهای چهاروجهی و زمان محاسباتی برای سه هندسه ایجاد شده

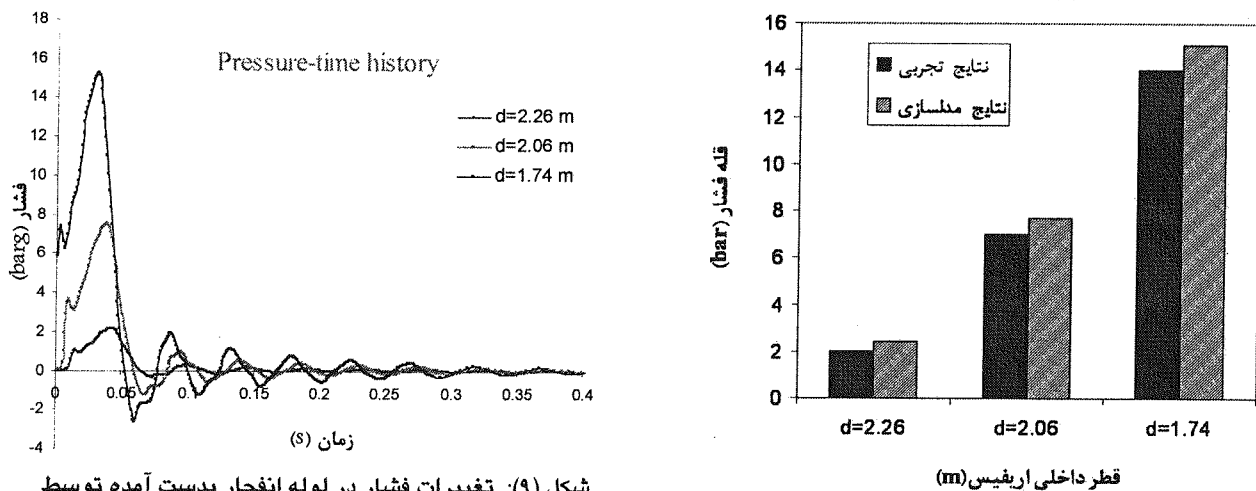
تعداد المانهای چهاروجهی	قطر داخلی اریفیس (m)	CPU-Time(s)
۲/۲۶	۲۴۷۲۴	$1/51 \times 10^{-4}$
۲/۰۶	۲۸۴۱۳	$1/74 \times 10^{-4}$
۱/۷۴	۲۶۱۶۴	$1/61 \times 10^{-4}$

### ۳-۵- شرایط اولیه و شرایط مرزی

به علت تقارن هندسی لوله، آن را یک نیمه استوانه در نظر گرفته و سطح تخت آن با شرایط مرزی متقاضی معرفی گردید. یک طرف لوله به عنوان شرایط مرزی دهانه باز (Opening) با فشار اتمسفری و طرف دیگر یک دیواره آدیاباتیک فرض شد. شرایط اولیه در فضای محاسباتی برای مخلوط استوکیومتری پروپان به صورت زیر لاحظ گردید:



شکل (۷): حرکت شعله در طول لوله انفجار در موردی که قطر داخلی اریفیس برابر با  $2/26\text{ m}$  است.



شکل (۹): تغییرات فشار در لوله انفجار بدست آمده توسط CFD

#### ع- نتیجه گیری

پخش اتمسفری گاز و انفجار آن، نیاز به شناخت پدیده‌های پیچیده مربوط به جریان‌های واقعی (با حضور مانع و ایجاد اختشاش) دارد. شبیه سازی انجام شده نشان می‌دهد که می‌توان از نتایج CFD بجای انجام آزمایشات با هزینه بالا بهره جست. به کمک آنالیز CFD می‌توان سطوح هم مقدار گاز را تعیین نموده و محدوده خطر برای گازهای سمی و یا محدوده انفجار برای گازهای آتش زا را تعیین نمود.

نسبت انسداد پارامتر مهمی است که تأثیر قابل توجهی روی فشار انفجار دارد. درجه انسداد بالا به علت تراکم موائع، معمولاً یکی از مشخصه‌های واحدهای شیمیایی است که با مواد اشتغال پذیر سرو کار دارند. با افزایش این نسبت، سطح تهویه کاهش و سرعت جریان افزایش خواهد یافت. افزایش سرعت سوختن باعث بالارفتن فشار انفجار خواهد شد. برخورد شعله با موائع باعث ایجاد اختلاط شدید و درنتیجه احتراق متلاطم در ناحیه شعله می‌شود.

شکل (۸): داده‌های تجربی و نتایج مدلسازی برای قله فشار بر حسب قطر داخلی اریفیسها در لوله حاوی مخلوط پروپان-هوا در شکل ۸ نتایج آزمایشات تجربی انجام شده به همراه نتایج شبیه‌سازی ارائه و مقایسه شده است. از این نتایج معلوم می‌شود که قله فشار انفجار می‌تواند بسیار بیشتر از فشار نهایی در انفجار حجم ثابت ( $8-9\text{~m}^3$ ) باشد. علت این امر از پیش فشردگی گاز نسخته است. گاز نسخته می‌تواند بخار ابساط گازهای سوخته فشرده شود و درنتیجه فشار اولیه‌ای بیشتر از فشار محیط خواهد داشت که این باعث ایجاد فشارهای محلی بزرگتر از  $8-9\text{ bar}$  خواهد شد. در شکل ۹ تغییرات فشار نسبت به زمان در هر سه هندسه نشان داده شده است.

Leung, M. K. H., Liu, C., Chan, A. H. S., Leung, D. Y. C., Yam, W. C., Ng, S. P. and Vrijmoed, L. L. P., "Prediction of transient turbulent dispersion by CFD-statistical hybrid modeling method", Atmospheric Environment 39 6345-6351 2005.

Dharmavaram, S. R. and Hanna, O. R., "Consequence analysis - Using a CFD model for industrial sites", American Institute of Chemical Engineers Process Safety Progress, 2005

SDavies, M. E. and Singh, S., "The phase II trials: a data set on the effect of obstructions", J. Hazard. Mater. 11, 301-323, 1985

Rottman, J. W., Simpson, J. E., Hunt, J. C. R. and Britter, R. E., "Unsteady gravity current flows over obstacles: some observations and analysis related to the phase II trials", J. Hazard. Mater. 11, 325-340, 1985

Brighton, P. W. M., "A user's critique of the Thorney Island dataset", J. Hazard. Mater. 16, 457-500, 1987

Nielsen, M., "Dense gas field experiments with obstacles", J. Loss Prevent. Process Ind. 4, 29-34 1991.

ANSYS Company, CFX-10 Solver Theory Manual CFX Ltd., Oxfordshire, pp. 57-96 2005

McQuaid, J. and Roebuck, B., "Large scale field trials on dense vapor dispersion", Report No. EUR 10029 (EN) pp. 200-204 and 262-267, 1985.

CCPS, "Consequence Analysis of Chemical Releases", AIChE, New York, pp. 80-83 1999.

[۱۲] در پایان خاطر نشان می گردد که کدهای CFD ابزار قدرتمندی در شبیه سازی فرایندهای فیزیکی پیچیده بوده و با ارائه نتایج دقیق و همه جانبه، می تواند به عنوان یک روش مؤثر در کاربردهای آنالیز کمی ریسک به کار گرفته شود.

[۱۳]

## ۵- علائم و نشانه ها

U	بردار سرعت	BR	نسبت انسداد
Z	جهت قائم	$m_i$	شدت جریان ژرم و روودی
$Z_0$	ارتفاع مرجع	P	فشار استاتیک
$\lambda$	پارامتر بدون بعد مورد استفاده در پروفیل سرعت	$Q_i$	شدت جریان متغیر ژرم و روودی
$\rho$	دانسیته	$Q_{ig}$	بار حرارتی مورد نیاز برای تولید جرقه
t			زمان
$u_z$		Z	سرعت باد در ارتفاع Z
$u_0$			سرعت باد در ارتفاع
			مرجع

[۱۴]

[۱۵]

[۱۶]

[۱۷]

[۱۸]

[۱۹]

[۲۰]

[۲۱]

## ۶- مراجع

- [۱] Turner, D. B., "Workbook of atmospheric dispersion estimates: An introduction to dispersion modeling", 2nd ed., Lewis Publishers, Raleigh, NC, 1994
- [۲] Hanna, S. R., Drivas, P. J. and Chang, J. C., "Guidelines for use of vapor cloud dispersion models", 2nd ed., AIChE Center for Chemical Process Safety, New York, NY, 1996.
- [۳] Hanna, S. R. and Britter, R. E., "Wind flow and vapor cloud dispersion at industrial and urban sites", AIChE Center for Chemical Process Safety, New York, NY, 2002.
- [۴] Lees, F. P., "Loss Prevention in the Process Industry", 2nd ed., Butterworths/ Heinemann, Oxford, pp. 15and 167, 1996
- [۵] Global Explosion Consultants  
<http://www.gexcon.com/index.php/>
- [۶] Faisal I. Khan, S.A. Abbasi, "DOMIFFECT (DOMIno eFFECT): user-friendly software for domino effect analysis", Environmental Modelling & Software 13 (1998) 163-177.
- [۷] E. Salzano, F.S. Marra, G. Russo, J.H.S. Lee, "Numerical simulation of turbulent gas flames in tubes", J. Hazard. Mater. A95 (2002) 233-247.
- [۸] ساوین، محمد رضا؛ "مدلسازی عددی انفجار، دانشگاه صنعتی امیرکبیر، دانشکده مهندسی مکانیک، زمستان ۷۹
- [۹] "Tracking and predicting the atmospheric dispersion of hazardous material releases Implications for homeland security", The National Academies Press, Washington, DC, 2003
- [۱۰] Proc 8th Ann George Mason University Conf on Transport and Dispersion Modeling, Meeting Agenda, Fairfax, VA, July 13-14 2004
- [۱۱] Sklavounos, S. and Rigas, F., "Validation of turbulence models in heavy gas dispersion over obstacles", Journal of Hazardous Materials A108, 9-20, 2004
- [۱۲] Xiaomin, X. H., Zhen, W. Jiasong, "The impact of urban street layout on local atmospheric environment",